

(87) 川崎港海底トンネルの地震応答

運輸省港湾技術研究所 正員 看守 順
 同 上 守生員 而澤 英雄
 同 上 正員 橋田 弘

1. まえがき

東京湾周辺には、既にノン組前後の長大な沈埋トンネルが建設されている。取扱方法層内に埋設されている沈埋トンネルの地震時の挙動を調べるために、数箇所の沈埋トンネルで地震応答観測が行われており、有用な知見がいくつか得られている。川崎港海底トンネルでは、ノンタフタ以来、トンネル内及び周辺地盤内に各複数の測定計器を設置して地震応答観測を行っている。本報告では、地震の諸元と沈埋トンネルに生ずるひずみ量との関係及び、二、三へ地震応答観測を対象に地震の性質によって本報告がどのように異なるかを中心に述べる。

2. 地震応答観測の概要と取得された地震記録

地震応答観測に用ひている計器の配置を図-1に示す。千鳥町及び鶴島へ換気所附近傍の地表 (+1.5m) と地中 (-60m) 、沈埋トンネル内へ3地点に合計18点の加速度計が設置されている。また沈埋トンネル内へ加速度計が設置されている。地中側壁にコンクリート表面ひずみ計と鉄筋計とが対になって取付けられており、函体に生ずるひずみを計測できる。現在までに取得された地震記録は、表-1に示す22個である。表中のKWSKは記録の登録番号である。これらの記録の内、最大加速度は、76 Gal である。

3. 地震の諸元とひずみ量との関係

得られたひずみ波形での最大振幅値と地震の諸元(マグニチュード及び震央距離)との関係を図-2に示す。沈埋トンネルに生じたひずみ量は、マグニチュードが大きい程、また震央距離が短い程大きい値であったことがわかる。地震記録の集積回数は十分ではないが、各地震毎で得られた最大ひずみ量と地震の諸元との関係を回帰式で求めると次式を得る。

$$\log_{10}(E_{max}/10^{-6}) = 0.52M - 1.36 \log_{10}d - 0.12$$

ここで M: マグニチュード, d: 震央距離

筆者らは川崎港水底トンネルで、また田村らは、

多摩川トンネルで同様の地震応答観測を実施し

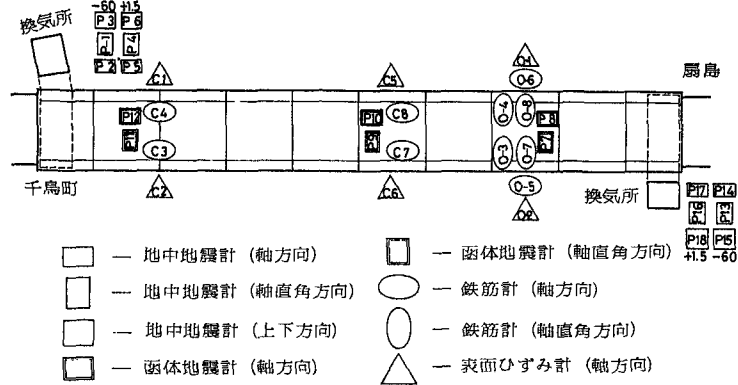


図-1 測定計器の配置図

地震記録番号	発震年月日	震源地		マグニチュード	深度 (km)	震央距離 (km)
		場所	緯度 緯度			
KWSK-1	1980. 3. 12	房総半島南東沖	34°57' 140°31'	5.6	80	92
KWSK-2	1980. 3. 31	京都市府北部	35°30' 135°31'	5.9	360	384
KWSK-3	1980. 4. 22	東海道はなか神	32°09' 137°55'	6.6	400	409
KWSK-4	1980. 5. 08	房総半島南東沖	34°31' 140°27'	5.7	60	126
KWSK-5	1980. 6. 18	千葉県中央部	35°38' 140°01'	4.6	80	27
KWSK-6	1980. 6. 29	伊豆半島東方沖	34°55' 139°14'	6.7	10	81
KWSK-7	1980. 8. 15	房総半島南東沖	34°51' 139°46'	5.0	90	73
KWSK-8	1980. 9. 24	茨城県南西部	35°58' 139°48'	5.4	80	51
KWSK-9	1980. 9. 25	千葉県中部	35°31' 140°13'	6.1	80	37
KWSK-10	1981. 1. 19	富士山	38°36' 132°58'	7.0	0	295
KWSK-11	1981. 4. 14	山梨県東部	35°26' 138°55'	4.5	20	76
KWSK-12	1981. 6. 25	神奈川県東部	35°36' 139°31'	3.6	40	25
KWSK-13	1981. 9. 02	茨城県沖	35°48' 141°08'	5.8	40	128
KWSK-14	1982. 2. 21	八丈島近海	33°43' 141°14'	6.4	40	262
KWSK-15	1982. 3. 7	鹿児島	36°28' 140°39'	5.5	60	133
KWSK-16	1982. 7. 23	薩摩県沖	36°18' 141°40'	7.0	40	204
KWSK-17	1982. 8. 12	伊豆大島近海	34°54' 139°32'	5.7	40	71
KWSK-18	1982. 9. 6	鳥取南方沖	29°30' 141°02'	6.9	190	677
KWSK-19	1982. 12. 28	三宅島	33°42' 139°40'	6.0	50	202
KWSK-20	1983. 2. 22	千葉県北部	—	—	—	—
KWSK-21	1983. 2. 27	茨城県南部	35°58' 140°06'	6.0	70	59

表-1 取得された地震記録

でいる。二の両トンネルで得られた最大ひずみ量と地震の諸元とを整理し、回帰式を得た。この結果を図-3に示す。ただしそれを行った地震のマグニチュードは、3.6～7.5、震央距離は、15～740kmの範囲であり、各地震記録での最大ひずみ量は、 50×10^{-6} 以下である。同一の性質を持つ地震に対して川崎港海底トンネルと多摩川トンネルでは、ほぼ同程度のひずみ量が、衣浦港水底トンネルでは、他の二箇所のトンネルよりも大きいひずみ量が与えられることが判る。

4. 軸ひずみと曲げひずみ

次ぎトンネルの一断面で対応になってひずみ記録が得られれば、軸ひずみと曲げひずみとに分離できる。各地震に対して扇島側のコンクリート表面ひずみ計で得られた最大軸ひずみ量と最大曲げひずみ量とを表一式に示す。最大軸ひずみ量と最大曲げひずみ量とは、KWSK-4, 8, 9では同程度、KWSK-19, 21では軸ひずみ量が卓越している。軸ひずみ量と曲げひずみ量とは、地震波の波長、速度振幅、加速度振幅及び外径等の要因の影響を受ける。次ぎトンネルと同じく埋設地中構造物であるパイプライン等では、通常軸ひずみ量が曲げひずみ量より大きい。パイプライン等の外径の大きい次ぎトンネルでは、地震の性質によつては、軸ひずみと同様曲げひずみもかなり発生すると言える。

5. 各地震記録に対する次ぎトンネルの応答

KWSK-9の地震に対する応答を調べる。この地震は、千葉県中部にて1979年6月25日に発生した。いわゆる直下型の地震である。記録開始後7～10秒附近に衝撃的に数波の地震波が次ぎトンネルに到着している。図-4にこのひずみ波形を示すが、加速波形で最大振幅が生じている付近で、軸ひずみ波形と曲げひずみ波形とも最大値をとり、その後振幅は減少している。また軸ひずみ波形

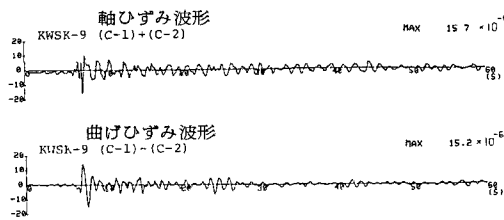
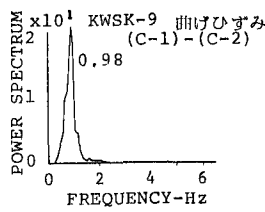
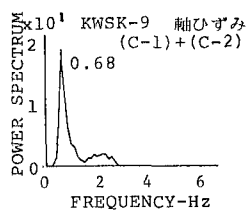
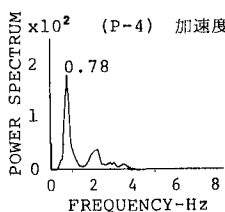


図-4 ひずみ波形(KWSK-9)



- 340 -

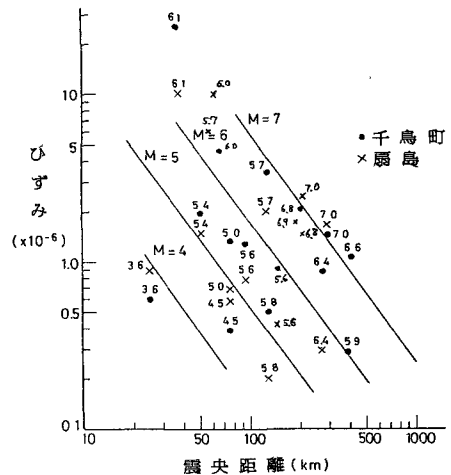


図-1 ひずみと地震の諸元との関係

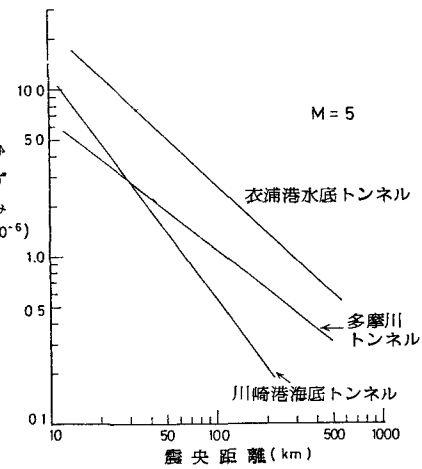


図-2 回帰式の比較

地震番号	軸ひずみ	曲げひずみ
KWSK-4	1.9	1.3
KWSK-8	1.0	0.9
KWSK-9	9.1	7.3
KWSK-19	2.0	0.6
KWSK-21	4.4	1.9

表-2 軸ひずみと曲げひずみ($\times 10^{-6}$)
図-5 (左図) 地震波形のパワースペクトル(KWSK-9)

形の方が曲げひずみ波形よりも卓越周期が長い傾向がある。次に KWSK-6 の地震記録でハメ計を行った。図-6 に得られた加速度波形を示すが、主要動部は記録取得開始後から十数秒までである。その後振幅値は小さいが、0.3 Hz 前後の比較的長周期の波が卓越している。この地震記録では、良好なひずみ波形が取得できなかったので、トニネル内に加速度記録を積み、得られた変位波形から求めた。この結果を図-7 に示すが、ひずみ波形はまだらかで、加速度記録での主要動部を過ぎた 60 秒前後で振幅が最大となる。この区間での地震波の波形の性質を調べる。

いま 970 m 離山天地中の 2 点間での地震波の相関係数をとると、地震波が南島から千鳥町側へ約 2400 m/s の速度で伝播していることがわかる。トニネル軸線と震央方向との角度が 46 度であるので、地震波の伝播速度は約 1600 m/s と推定できる。千鳥町側の地中地

震計で得られた加速度波形から計算した変位波形に着目する。この変位波形では、約 0.3 Hz の振動数が卓越しているが、この変位波形にフィルターをかけ、0.2~0.33 Hz, 0.1~0.2 Hz の振動数を持つ波形に分離する。0.2~0.3 Hz の変位波形では、鉛直面内でだ円形を示し、波の進行が震央方向に対して反転している。また水平面内では、震央方向への直角に關して振動しているように見える。また図-9 に示す上下成分と震央方向成分の積で波形は正弦波的である。この振動数域では、レーリー波が優勢であることが解る。一方 0.1~0.2 Hz の領域

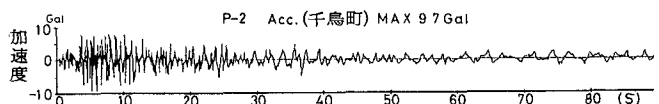


図-6 加速度記録 (KWSK-6)

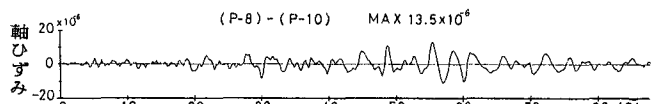


図-7 計算されたひずみ波形

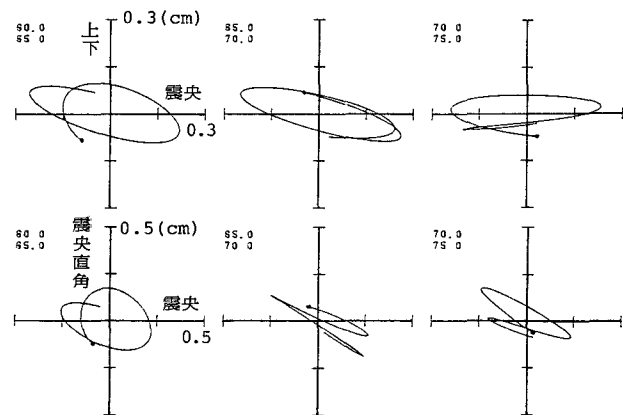


図-8 0.2~0.33 Hz の波形での軌跡図

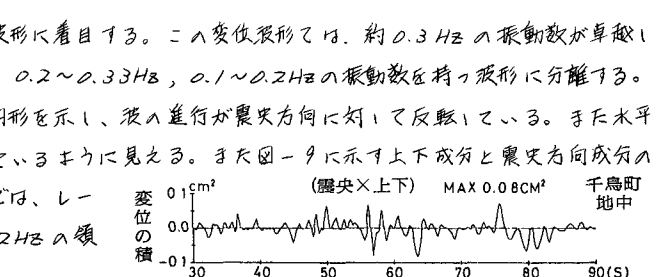


図-9 变位波形の積

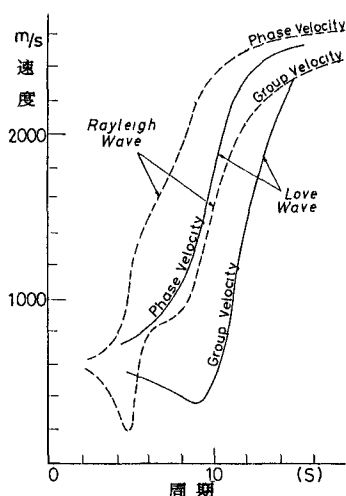


図-11 表面波の分散曲線
(文献資料作成)

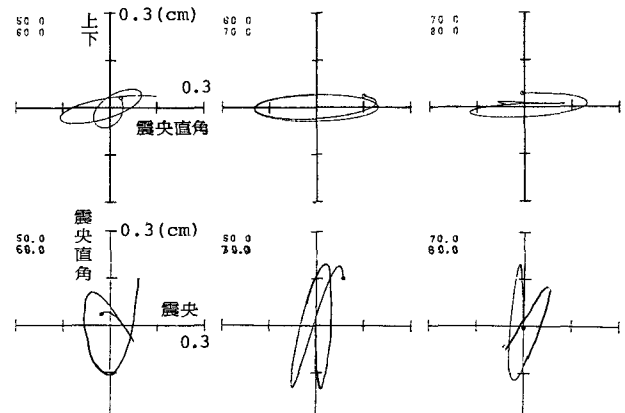


図-10 0.1~0.2 Hz の波形での軌跡図

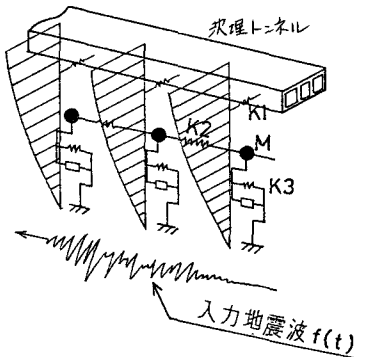


図-12
質点系
モデル

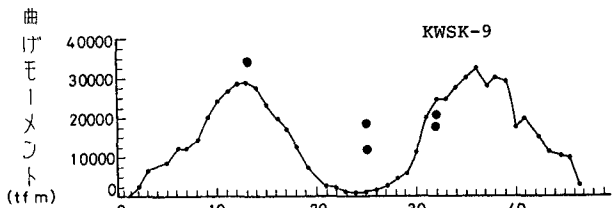


図-13 曲げモーメントでの比較

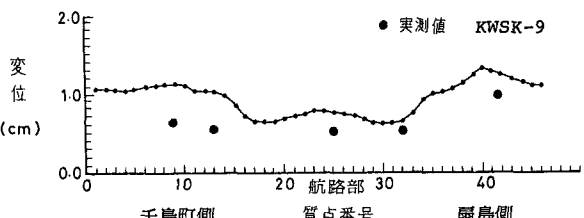


図-14 太管変位での比較

域の変位波形では、鉛直面内では水平方向に、(cm)水平面内で震央直角方向に振動していることが解る。ここで振動領域の波では、ラグ波が優勢であることが解る。

6. 動的応答計算

沈埋トンネルの耐震設計は、図-1ノスに示す質点系モデルを使って行なわれる場合が多い。実体波が優勢なKWSK-9の地震を対象に、質点系モデルによる計算値と実測値との比較を行う。地盤の力学定数は、弹性波探査で得られたせん断弾性波速度等を基に設定した。SHAKE(アロクラム名)を用いて沈埋トンネル軸線に沿った表層地盤の力学定数のみずみ依存性を考慮した。曲げモーメントで計算値と実測値との比較を図-13に示す。地形条件が変化する護岸部に、大きな値の曲げモーメントが計算されたが、航路部では小さな値となる。千鳥町側と扇島側へ沈埋函への実測値は、ほぼ計算値と同程度である。ただし航路部では、実測値の方が計算値よりも大きな値となっている。図-14に太管変位に関して、計算値と実測値(加速度波形の積分値)との比較を図-14に示す。計算値の方が実測値よりも若干大きな値を取るが、分布の傾向はほぼ同一である。一方KWSK-16の地震の場合表面波が優勢な地震に対して、質点系モデルによる動的応答計算法は、必ずしも合理的であると言えない。すなわち質点系モデルでは、表層地盤のせん断振動を考慮しておらず、表面波が表層地盤を水平方向に伝播する際の表層地盤の振動を考慮していない。今回、表面波に対する沈埋トンネルの地震応答を求めるため、図-15に示す簡単な力学モデルを考える。すなわち、沈埋トンネルを弹性支承上へ梁と設定する。入力地震波は、変位波形とし、はじめ端部から強制変位として力学モデルに入力する。変位波形は、梁モデルの一端から他端へ伝播するとした。入力波形は、地中地震計で測定された地震記録を積分して求め、振幅値は、沈埋トンネル位置に補正を施す。計算結果の詳細については、当日発表する。

7. 結び

沈埋トンネルの地震応答特性は、地震波の性質によって異なる。観測結果から、実体波よりも表面波が沈埋トンネルの地震応答特性にとって重要であることが確認できた。表面波成分が優勢になるとされる地震波記録の集類では、少くとも十分な考慮を行えていい面もある。だが、観測を繰り返していくことによって現象の解明を図りたい。

参考文献 1)田村重四郎：地中構造物の耐震設計法とその変位法について、生産研究29巻5号、1977年

2)島崎三、柳沢馬徳、佐間俊作：首都圏の基礎構造、第5回地震工学シンポジウム、1978年